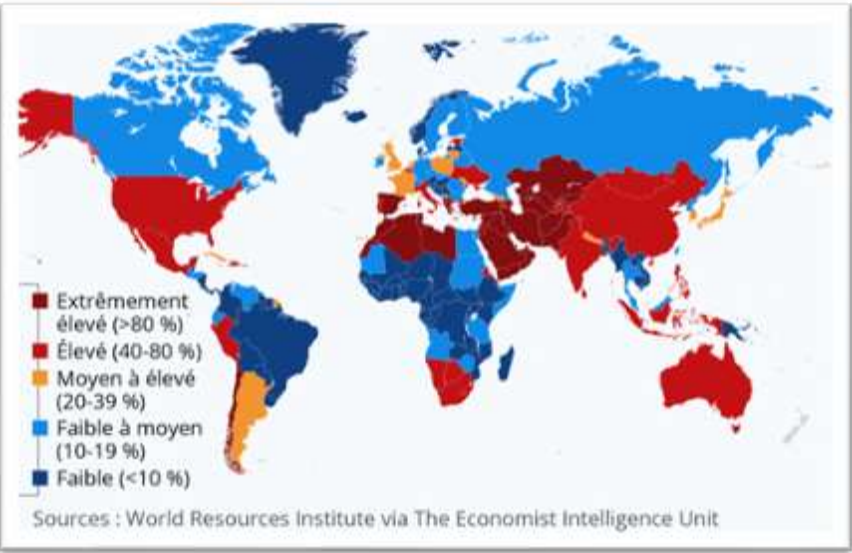


# **Le traitement de l'eau de mer : une solution pour des villes côtières**

**Thème : La ville**

**MOLOHIO Alexandre  
Numéro d'inscription: 31372**



Projection du rapport entre les prélèvements d'eau douce et les ressources en eau disponibles en 2040



<https://www.lindependant.fr/2023/05/04/secheresse-des-elus-des-pyrenees-orientales-a-barcelone-pour-etudier-le-dessalement-deau-de-mer-11174720.php>

Usine d'osmose inverse d'El Prat à Barcelone



<https://www.casamarchants.com/nosproduits/product/cid-163.html>

Tubes d'osmose inverse

# Objectifs :

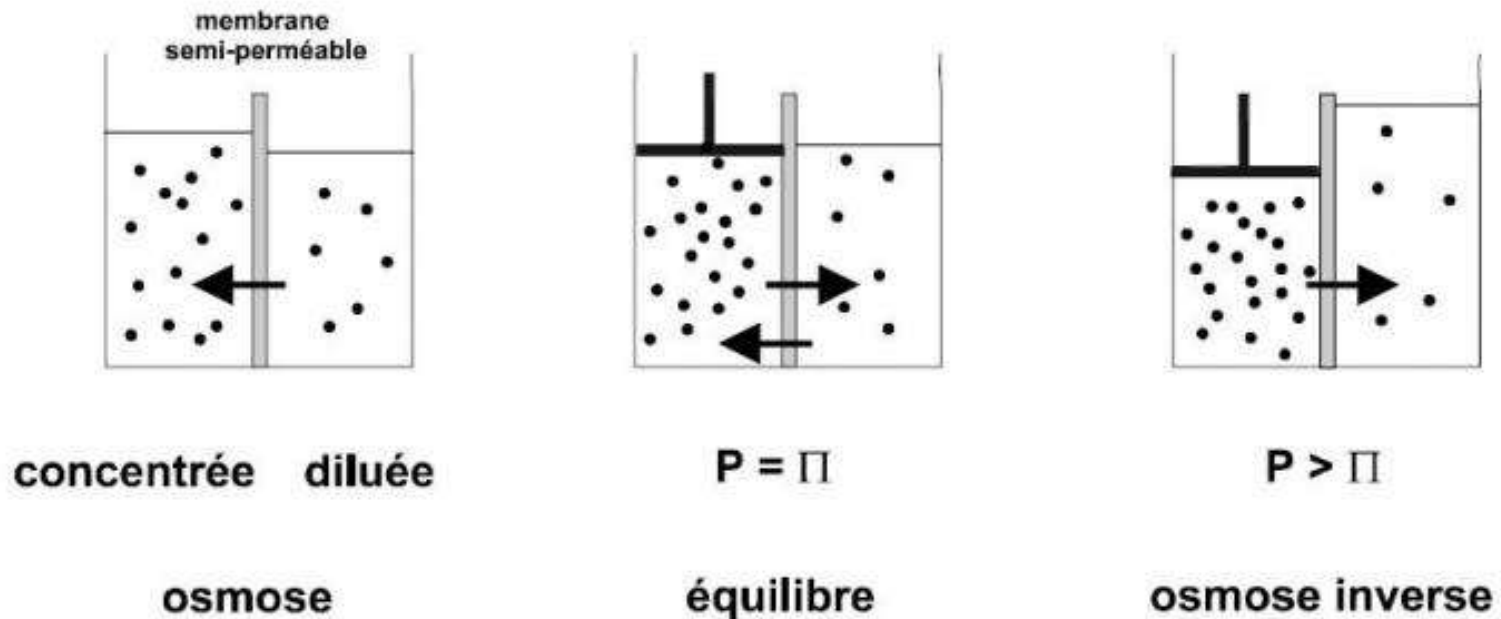
---

- Réaliser un osmoseur inverse par nos propres moyens à l'aide d'une membrane brackish water reliée à un tube en PVC par une jonction étanche.
- Mettre en évidence l'influence de paramètres comme la concentration initiale en sel lors de l'utilisation de notre osmoseur
- Comparer la méthode de congélation et d'osmose inverse

**Le dessalement de l'eau de mer par osmose inverse est-il un procédé efficace en comparaison à la congélation ?**

- 1) L'osmose inverse
- 2) La congélation
- 3) Comparaison des systèmes

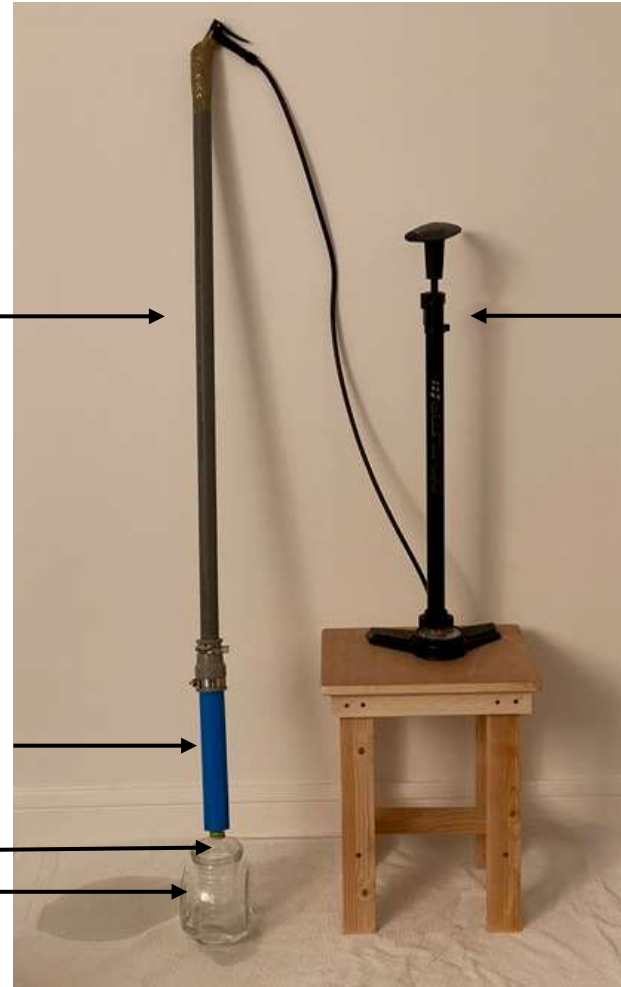
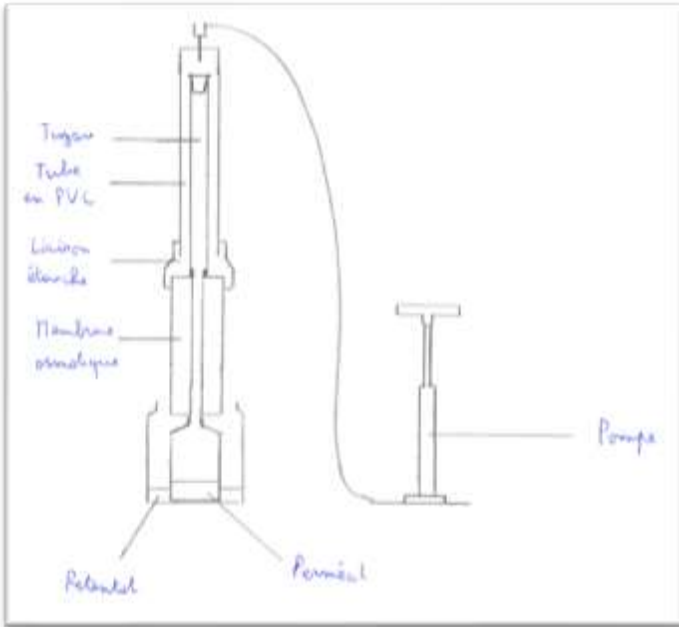
# L'osmose inverse : théorie



*Loi de Van't Hoff :*  $\Delta\Pi = C \times i \times R \times T$

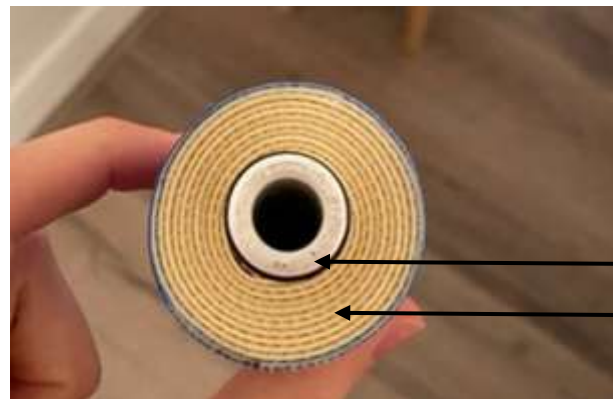
Eau de mer :  $C=35 \text{ g/l}$   $\Delta\Pi = 55.2 \text{ bar}$

# Notre osmoseur inverse



Tube en PVC

Pompe à vélo équipée  
d'un baromètre



Membrane  
d'osmose inverse  
brackish water

Perméat

Rétentat

# Les problèmes d'étanchéité

---





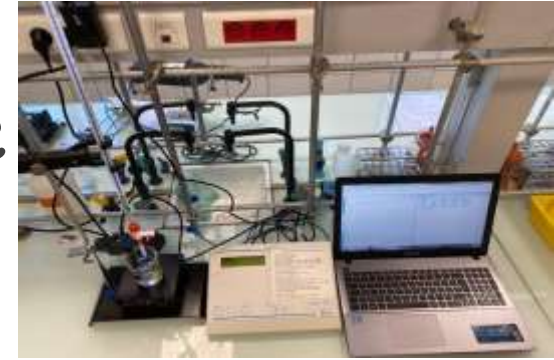
# Une première expérience

- 4.4 bars
- Ions NaCl à 0.2 g/l dans 1L d'eau
- Pompage pendant environ 5 min

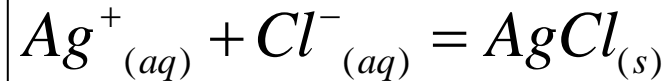




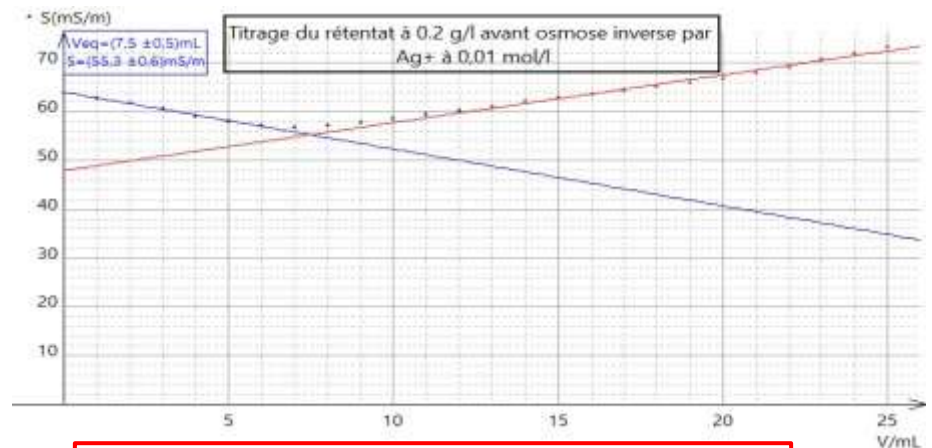
# Titrages par une solution de nitrate d'argent $\text{AgNO}_3$



- Suivi par conductimétrie



Perméat :  $C_p = (0.041 \pm 0.004) \text{ g/l}$



Rétentat :  $C_r = (0.265 \pm 0.003) \text{ g/l}$

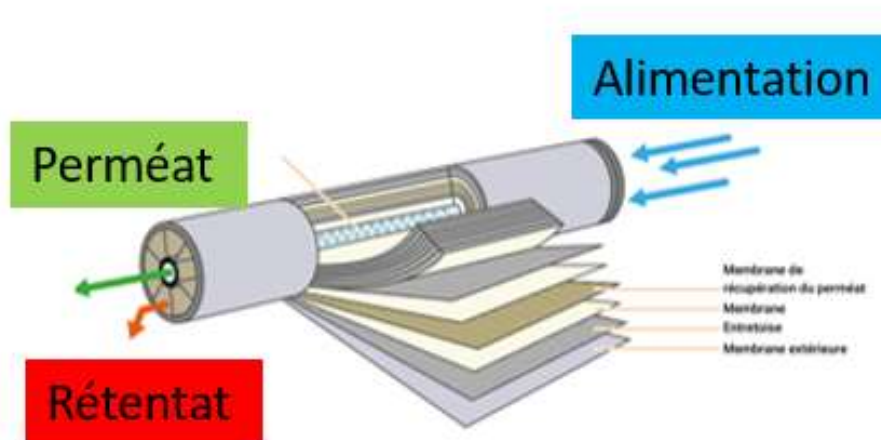
$$\text{Taux de rétention : } R = \left(1 - \frac{C_p}{C_a}\right) \times 100$$

$$R = 79,5\%$$



# Procédé membranaire

## ○ Avec de l'eau



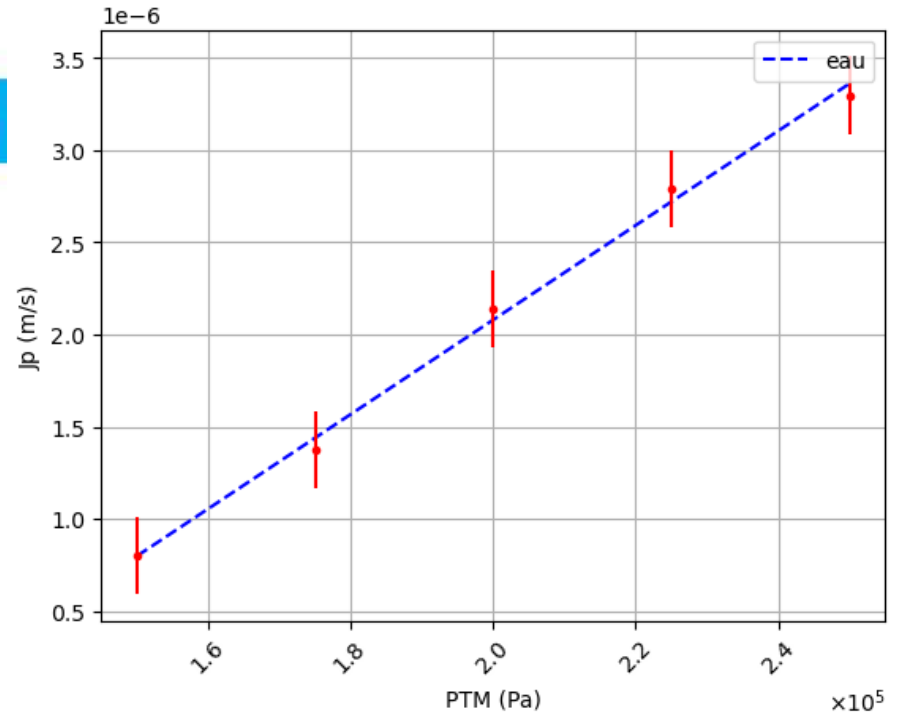
$$J_p = \frac{V}{t \times S} \quad PTM = \frac{Pe + Ps}{2} - \cancel{P_p}$$

Résistance hydraulique de la membrane,  $R_m = 3.90 \times 10^{13} \text{ m}^{-1}$

## Loi de filtration pour l'eau

$$\text{Flux de perméation : } J_p = \frac{PTM}{\eta R_m}$$

Flux de perméation,  $J_p$ , en fonction de la pression transmembranaire, PTM



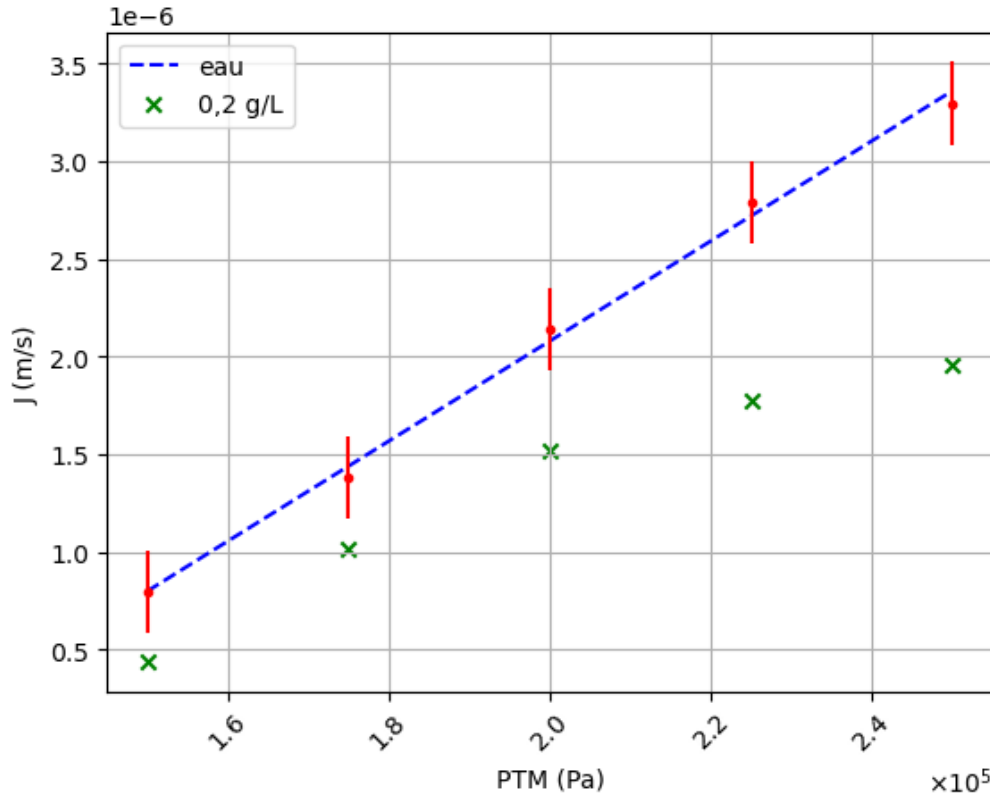
# Mise en évidence de l'existence d'une Contre-pression osmotique

Loi de la filtration pour un soluté

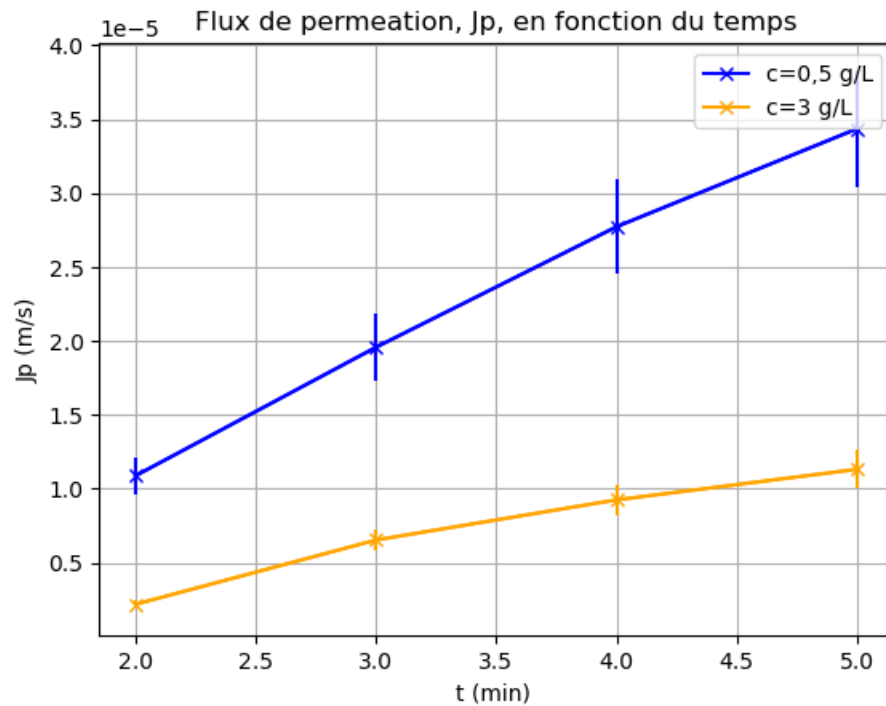
$$J_p = \frac{PTM - \Delta\Pi}{\eta R}$$

Pression osmotique

Flux de permeation,  $J$ , en fonction de la pression transmembranaire, PTM

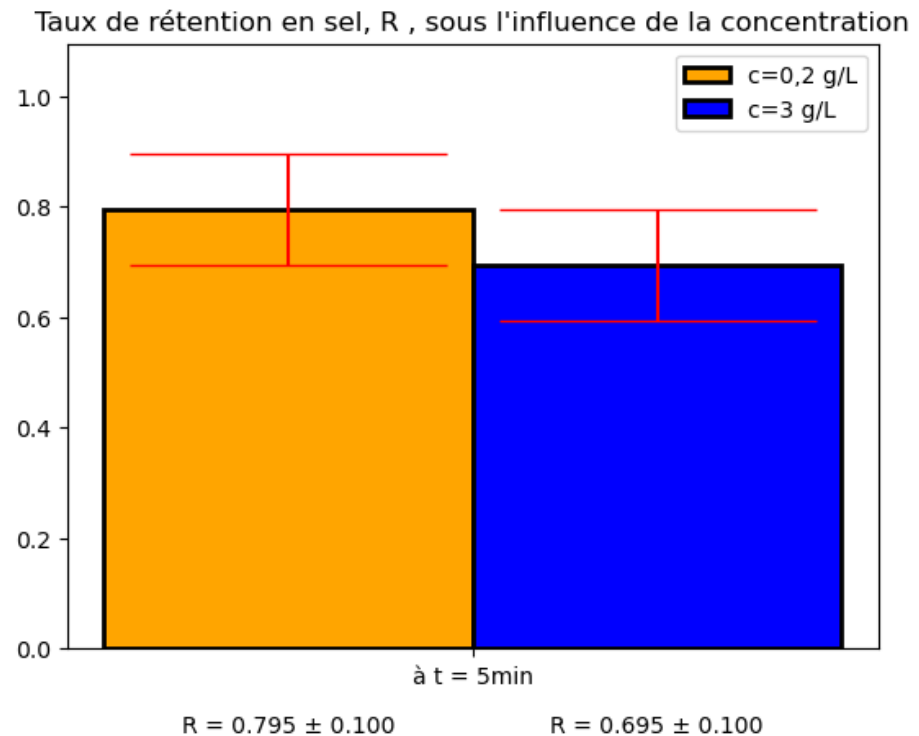


# Effet de la concentration d'alimentation sur le flux de perméat $J_p$ et sa qualité



$$J_p = \frac{PTM - \Delta\Pi}{\eta R}$$

Loi de Van't Hoff :  $\Delta\Pi = C \times i \times R \times T$

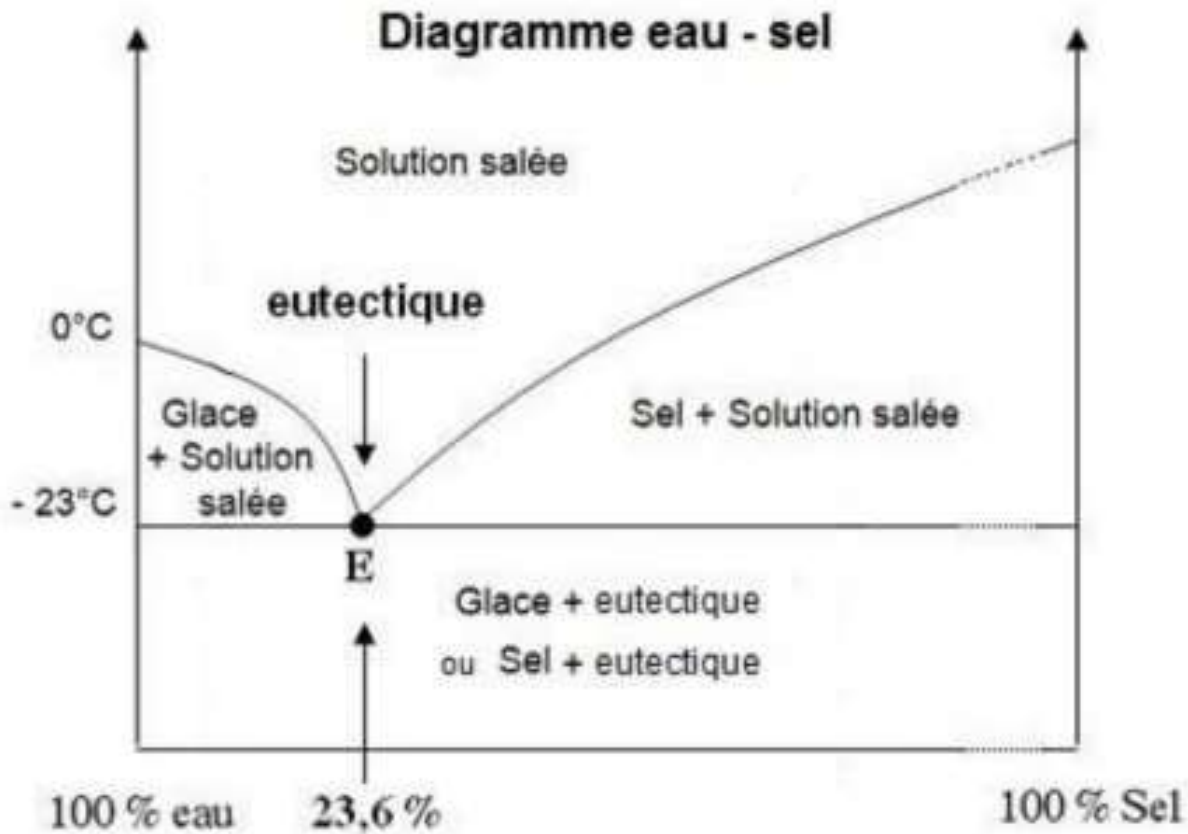


# Tableau récapitulatif des solutions traitées sous l'influence de différents paramètres

	Pression	Concentration	Flux d'alimentation	Température	Plusieurs ions
Valeur élevé	+++	---	+++	+++	---
Valeur faible	---	+++	---	---	+++

<https://www.memoireonline.com/11/13/7958/Influence-des-parametres-operatoires-sur-les-performances-d-un-systeme-de-dessalement-par-osmose.html>

# Congélation : théorie



[https://public.iutenligne.net/chimie/valls/chimie-11cg1%20-%20copie/liquesol\\_savoirs\\_definir5.htm](https://public.iutenligne.net/chimie/valls/chimie-11cg1%20-%20copie/liquesol_savoirs_definir5.htm)

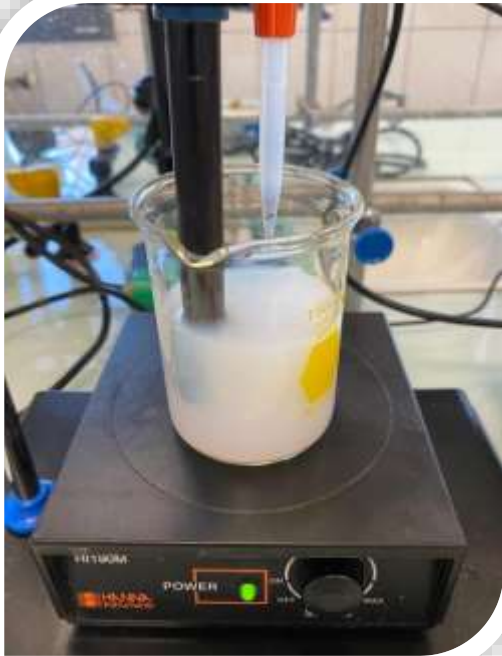
# Deux expériences



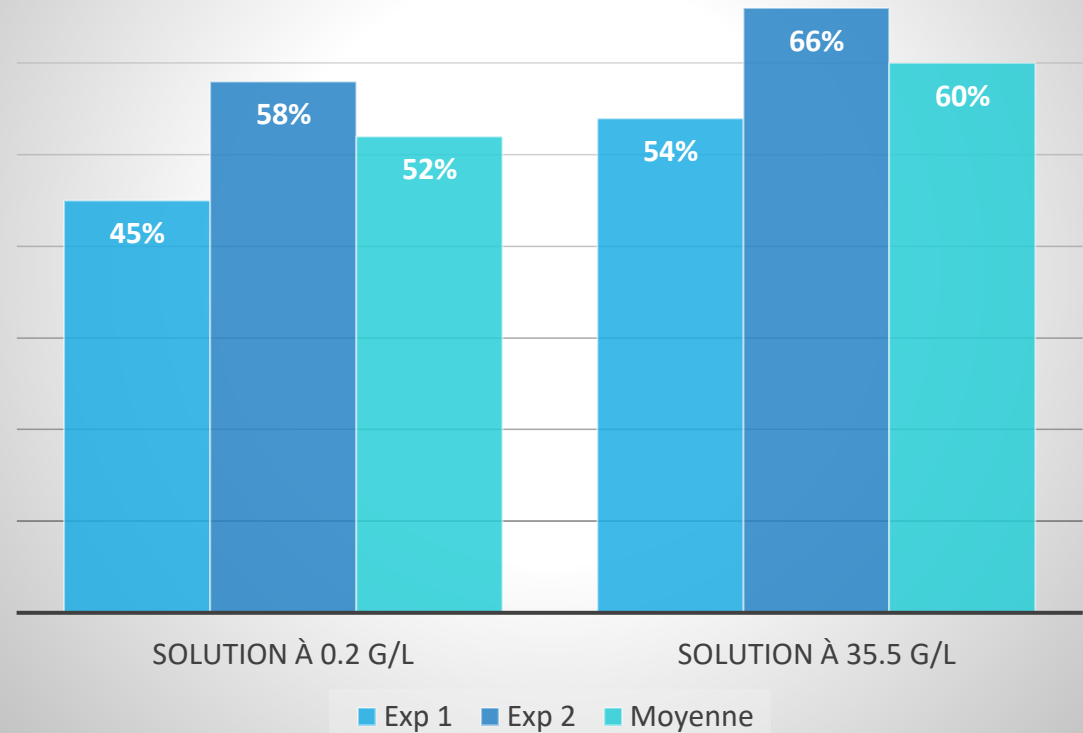


# Résultats

## Titration par argentimétrie



### Comparaison du taux de Rétention R par congélation

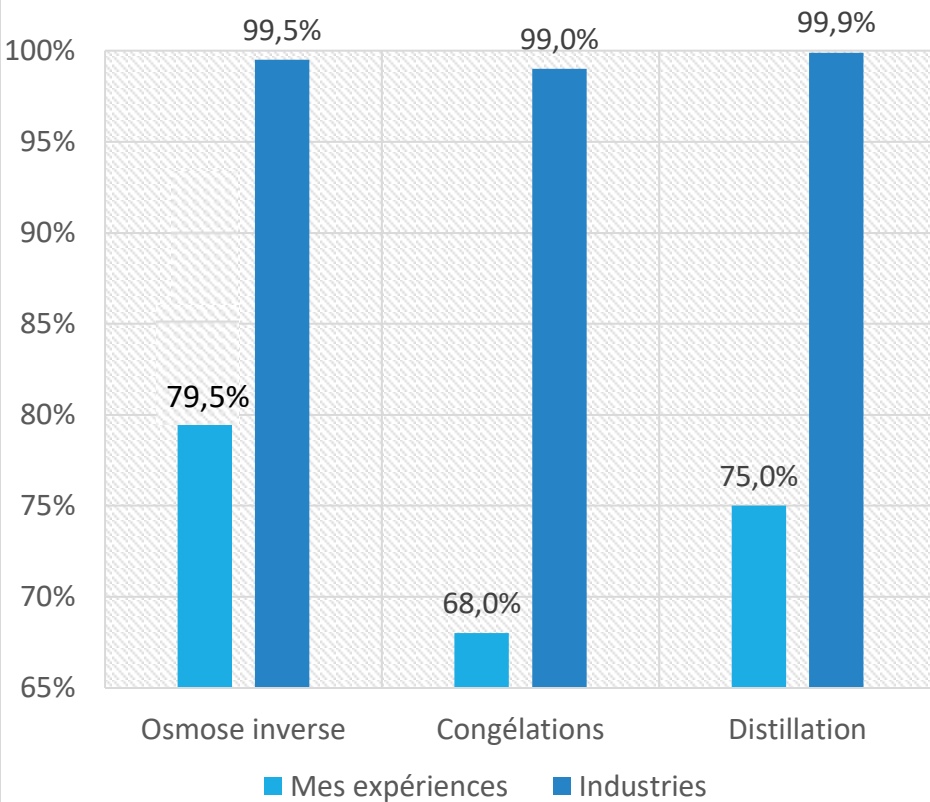


# Comparaison des systèmes

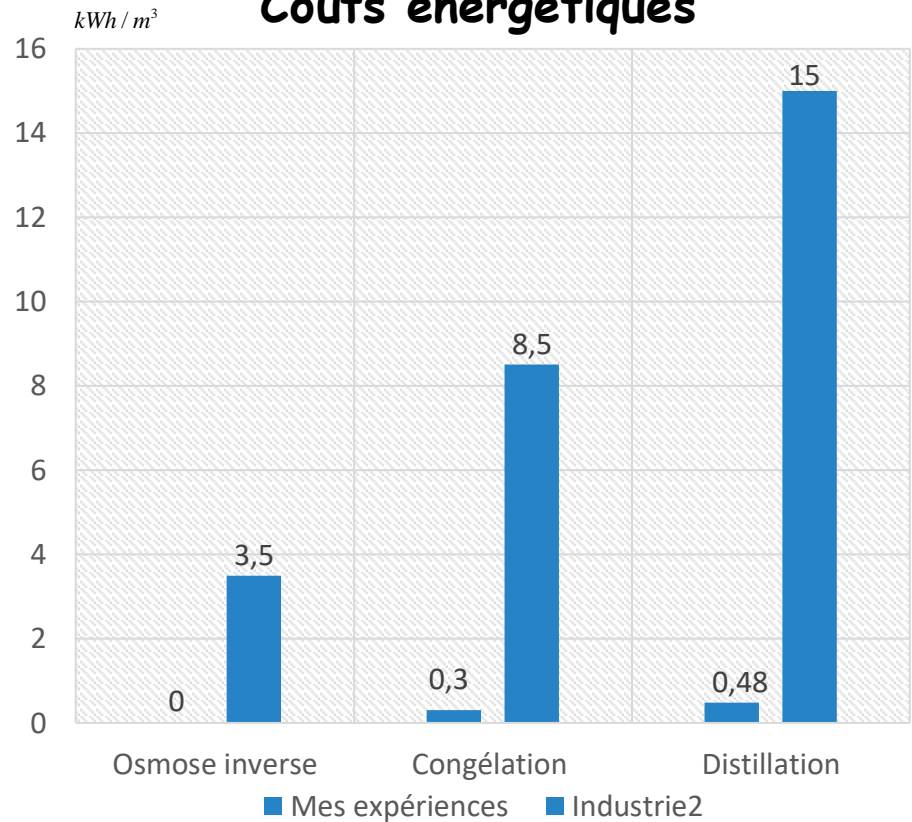
Rendement

énergie

## Taux de rétention de sel R



## Coûts énergétiques



[https://www.sft.asso.fr/Local/sft/dir/user-3775/documents/actes/congres\\_2013/articles/6253.pdf](https://www.sft.asso.fr/Local/sft/dir/user-3775/documents/actes/congres_2013/articles/6253.pdf)  
[https://www.encyclopedie-energie.org/le-dessalement-deau-de-mer-et-des-eaux-saumatres/#\\_ftn18](https://www.encyclopedie-energie.org/le-dessalement-deau-de-mer-et-des-eaux-saumatres/#_ftn18)

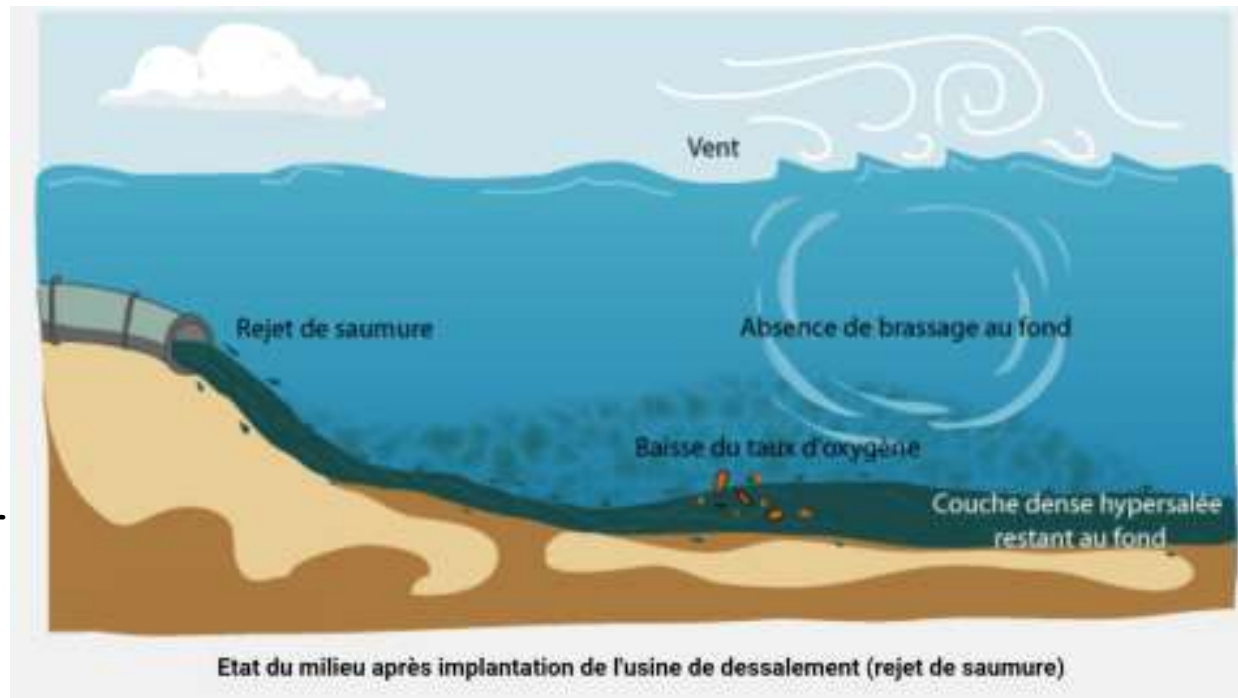
# Conclusion :

Osmose inverse » Congélation  
cogénération d'énergie

+ Meilleure rétention de sel  
+ Qualité  
+ Coût



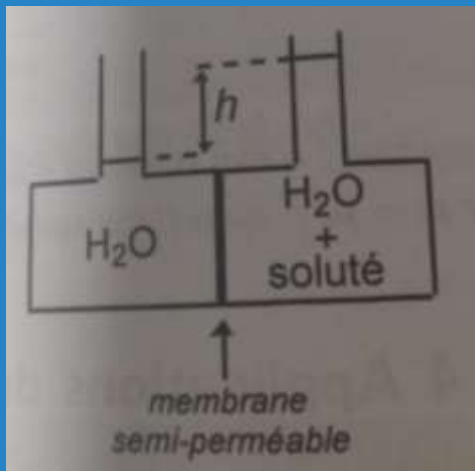
ATTENTION Environnement



<https://tpestationdedessalement.wordpress.com/2017/02/18/causes-des-impacts-environnementaux%E2%80%AF-et-leur-consequences/>

## Annexe 1:

# Loi de Van't Hoff



On se place dans le cadre des hypothèses suivantes :

- l'effet de la pression sur une phase condensée est prise en compte *via* la considération du volume molaire de l'eau  $V_{m,H_2O(l)}^*$  ;
- ce volume molaire dépend peu de la pression :  $V_{m,H_2O(l)}^*(T, P) \approx V_{m,H_2O(l)}^*(T)$  ;
- l'activité de l'eau est prise égale à sa fraction molaire  $x_{H_2O(l)}$  (avec  $x_{H_2O(l)}^E = 1$  et  $x_{H_2O(l)}^d \rightarrow 1$ ) .

On en déduit l'expression du potentiel chimique de l'eau dans chaque compartiment :

Compartiment de gauche :

$$\mu_{H_2O(l)}^E(T, P^E) = \mu_{H_2O(l)}^0(T) + V_{m,H_2O(l)}^*(P^E - P^0)$$

Compartiment de droite :

$$\mu_{H_2O(l)}^d(T, P^d) = \mu_{H_2O(l)}^0(T) + V_{m,H_2O(l)}^*(P^d - P^0) + RT \ln(x_{H_2O(l)}^d)$$

L'égalité des potentiels chimiques conduit alors à :

$$-RT \ln(x_{H_2O(l)}^d) = V_{m,H_2O(l)}^*(P^d - P^E) = V_{m,H_2O(l)}^* \Pi$$

La somme des fractions molaires de l'eau et du soluté vaut 1 dans le compartiment de droite :  $x_{H_2O(l)}^d + x_s = 1$ , on peut ainsi procéder à un développement limité du logarithme compte tenu du fait que  $x_s \ll 1$  :

$$-RT \ln(x_{H_2O(l)}^d) = -RT \ln(1 - x_s) \approx RT x_s$$

De même, dans l'expression de  $x_s$  :  $x_s = \frac{n_s}{n_s + n_{H_2O(l)}} \approx \frac{n_s}{n_{H_2O(l)}}$

Enfin, puisque  $V_{m,H_2O(l)}^* = \frac{V}{n_{H_2O(l)}}$  avec  $V$  le volume du compartiment de droite, on a l'expression finale de la pression osmotique, connue sous le nom de loi de van't Hoff.

### Loi de van't Hoff

La loi de van't Hoff relative à l'osmose relie la pression osmotique au nombre de moles de soluté du système.

$$\Pi V = n_s RT$$

## Annexe 2:

# Estimation de l'incertitude des titrages par la méthode de Monte Carlo

```
#Données du problème
V = 10          #Volume titré en mL
Ct = 1e-2       # Concentration de la solution titrante de soude en mol L-1
Veq = 12.8      #Volume équivalent en mL

# Données pour la simulation Monte Carlo
a_V = 0.02      #Tolérance de la pipette jaugée de 10 mL en mL
u_Ct = 1e-4     #Incertitude type sur la concentration
a_Veq = 0.05    #demi largeur de la distribution uniforme(ou rectangulaire) sur le volume équivalent

#simulation Monte Carlo
N = 10000       #nombre de simulations souhaité

Ct_sim = Ct + np.random.normal(0, u_Ct, N)          #utilisation d'une distribution gaussienne(ou normale) car on connaît l'incertitude-type.
Veq_sim = Veq + np.random.uniform(-a_Veq, +a_Veq, N) #utilisation d'une distribution uniforme pour Veq car on connaît la 1/2 étendue.
V_sim = V + np.random.uniform(-a_V, +a_V, N)        #utilisation d'une distribution uniforme pour V car on connaît la 1/2 étendue.

C=Ct_sim*Veq_sim/V_sim

Cmoy=np.average(C)          #Renvoie la moyenne des N valeurs de C obtenues lors de la simulation
u_C=np.std(C,ddof=1)         #Renvoie l'écart-type expérimental de la série des N simulations : c'est l'incertitude-type

print('Cmoy=', Cmoy, 'mol L-1')
print('u_C=', u_C*35,5, 'g L-1')

plt.hist(C*35.5,bins='rice',label='Histogramme des mesures',color='magenta')
plt.title('Histogramme pour N = 100000 simulations')
plt.xlabel('C (g/L)')
plt.ylabel('Effectifs')
plt.legend()
plt.show()
```

## Annexe 3 :

# Incertitude sur Jp

```
#Incertitude sur le flux de perméat

V = np.array([22, 38, 59, 77, 91])
t = np.array([60, 60, 60, 60, 60])

# Equations permettant de calculer le débit de permeation, Q, puis le flux de permeation, J
Q = V * 1e-6 / t # m3/s
S = 0.46 # m2
J = Q / (S) # m/s

# Données pour la simulation Monte Carlo
u_V = 10 # incertitude sur le volume du perméat
u_t = 1 # Incertitude type sur le temps

# Simulation Monte Carlo
N = 10000 # nombre de simulations souhaité
u_J = np.zeros(len(V)) # tableau pour stocker les incertitudes de chaque couple de données
for i in range(len(V)):
    J_sim = np.zeros(N) # tableau pour stocker les valeurs simulées de J
    for j in range(N):
        V_sim = V[i] + rd.uniform(-u_V, u_V) # variation aléatoire de V[i]
        t_sim = t[i] + rd.uniform(-u_t, u_t) # variation aléatoire de t[i]
        Q_sim = V_sim * 1e-6 / t_sim
        J_sim[j] = Q_sim / (S)
    u_J[i] = np.std(J_sim, ddof=1) # Incertitude-type de J pour le couple de données t[i] et V[i]

for i in range(len(V)):
    print(f'Incertitude-type pour le couple de données t[{i}]=t[{i}] et V[{i}]=V[{i}] : u_J[{i}] = {u_J[i]}')
```

## Annexe 4 :

# Détermination de la résistance hydraulique

```
#Valeurs de pression transmembranaire
PTH_bar_alim=np.array([2,2.5,3,3.5,4])
PTH_bar_ret=np.array([1,1,1,1,1])
PTM = 1e5*(PTH_bar_alim + PTH_bar_ret)/2 #calcul de la PTM en Pa

#Valeurs de volume filtré en mL
V=np.array([22,38,59,77,91])
#Valeurs de temps en s correspondant aux volumes
t=np.array([60,60,60,60,60])

#Equations permettant de calculer le débit de permeation, Q, puis le flux de permeation, J
Q=V*1e-6/t #m3/s
S=0.46 #m2
J=Q/S #m/s

reglin_perm= np.polyfit(PTM,J,1)
a=reglin_perm[0]
b=reglin_perm[1]
plt.plot(PTM, a*PTM+b, 'b--', label='eau')
plt.errorbar(PTM, J, yerr = u_J, fmt='r.')

plt.title('Flux de perméation, Jp, en fonction de la pression transmembranaire, PTM')
plt.xlabel('PTM (Pa)')
plt.ylabel('Jp (m/s)')
plt.legend()

# écriture scientifique en abscisse
ax = plt.gca()
ax.xaxis.set_major_formatter(ScalarFormatter(useMathText=True))
ax.ticklabel_format(axis='x', style='sci', scilimits=(0, 0))
plt.xticks(rotation=45)
plt.grid(True) # Ajoute un cadrillage

#calcul de la résistance hydraulique
mu=0.001 #Pa.s ou kg m-1 s-1
Rm=1/(mu*a)
###print('Perméabilité de la membrane, Lp=', a*1000*3600*1e5, ' L/(h.m2.bar)')
print('Résistance hydraulique de la membrane, Rm=', format(Rm, ".2e"), 'm-1')
```

# Annexe 4 :

## Mise en évidence de la contre-pression osmotique

```
#Mise en évidence de La pression osmotique

#Valeurs de temps en s correspondant aux volumes
t=np.array([60,60,60,60,60])

#Tableaux de volumes en mL
V02=np.array([12,28,42,49,54])

#Calculs des flux de perméation
J_02gl=(V02*1e-6/t)/(S) #m/s

#Tracé des flux de permeation en fonction de La PTM

reglin_perm= np.polyfit(PTM,J,1)
a=reglin_perm[0]
b=reglin_perm[1]
plt.plot(PTM, a*PTM+b, 'b--', label='eau')
plt.errorbar(PTM, J, yerr = u_J, fmt='r.')

plt.scatter(PTM, J_02gl, marker='x', color='g', label='0,2 g/L')

# écriture scientifique en abscisse
ax = plt.gca()
ax.xaxis.set_major_formatter(ScalarFormatter(useMathText=True))
ax.ticklabel_format(axis='x', style='sci', scilimits=(0, 0))
plt.xticks(rotation=45)
plt.grid(True)

plt.legend(loc='best')
plt.title('Flux de permeation, J, en fonction de la pression transmembranaire, PTM')
plt.xlabel('PTM (Pa)')
plt.ylabel('J (m/s)')
plt.grid(True)
plt.show()

#Calcul approximatif de La pression osmotique
A=a
CoPO=(J-J_02gl)*(1/A)
print('La contre pression osmotique est', CoPO*1e-5 , 'bar')
l=list(CoPO)
L=[valeur*1e-5 for valeur in l]
for i in range(len(L)):
    print (format(L[i],".2f") , 'bar')
```



## Annexe 5 :

# Influence de la concentration

```
#INFLUENCE DE LA CONCENTRATION

#Concentrations utilisées
'''Jp1 (C= 0.5 g/L ; P=4,4 bars)
Jp2 (C= 3 g/L ; P=4,4 bars)'''

#Tableaux de volumes en mL, on lit les volumes dans le perméat obtenu au temps correspondant
V_05gl=np.array([10,27,51,79])
V_3gl=np.array([2,9,17,26])

#Temps correspondant au prise de volume
t1=np.array([2,3,4,5])

#Calculs des flux de perméation
J_05gl=(V_05gl*1e-6/(t1))/(S) #m/s
J_3gl=(V_3gl*1e-6/(t1))/(S) #m/s

#incertitude sur J
deltaJ_05= 20/100 * J_05gl #choix sur incertitude de J
u_J05= deltaJ_05 / np.sqrt(3)

deltaJ_3= 20/100 * J_3gl
u_J3= deltaJ_3 / np.sqrt(3)

#Tracé des flux de perméation
plt.plot(t1, J_05gl, marker='x', color='b', label='c=0,5 g/L')
plt.plot(t1, J_3gl, marker='x', color='orange', label='c=3 g/L')

plt.legend(loc='best')
plt.title('Flux de perméation, Jp, en fonction du temps')
plt.xlabel('t (min) ')
plt.ylabel('Jp (m/s)')
plt.errorbar(t1, J_05gl, yerr = u_J05, fmt='b-', label='c=0,5 g/L') #incertitude sur le flux de perméation de J_05g/L de l'ordre de 2*u_J
plt.errorbar(t1, J_3gl, yerr = u_J3, fmt='orange', label='c=3 g/L') #incertitude sur le flux de perméation de J_3g/L de l'ordre de 2*u_J
plt.grid(True)
plt.show()
```

## Annexe 6 :

# Histogramme du taux de rétention

```
### influence de la concentration sur la qualité du perméat

largeur_barre = 0.3# largeur de chaque barre

u_R = np.array([0.1, 0.1]) #incertitude sur R

#mesure pour c_initial 0.2 g/L : on a 0.041 g/L
#mesure pour c_initial 2 g/L : on a 0.23 g/L
cp=np.array([0.041,0.61]) # 0.2 g/L ; 2 g/L
ca=np.array([0.2,2])
R=np.array(1-(cp/ca)) #taux de rétention (pourcentage de sel retenu par la membrane)

y1 = [R[0]]
y2 = [R[1]]
x1 = range(len(y1)) # Position de c=0.2g/L
x2 = [i + largeur_barre for i in x1] # Position de c= 2 g/L

#tracé de l'histogramme
b1=plt.bar(x1, y1, width = largeur_barre, color = 'orange', edgecolor = 'black', linewidth = 2,)
b2=plt.bar(x2, y2, width = largeur_barre, color = 'blue', edgecolor = 'black' for i in y1], linewidth = 2)

#barre d'incertitude
plt.errorbar(x1, y1, yerr=u_R[0], fmt='none', ecolor='red', capsize=70)
plt.errorbar(x2, y2, yerr=u_R[1], fmt='none', ecolor='red', capsize=70)

#Légende
plt.xticks([r + largeur_barre / 2 for r in range(len(y1))],['à t = 5min'])
plt.title("Taux de rétention en sel, R, sous l'influence de la concentration")
plt.text(x1[0], -0.15, f"R = {R[0]:.3f} ± {u_R[0]:.3f}", ha='center')
plt.text(x2[0], -0.15, f"R = {R[1]:.3f} ± {u_R[1]:.3f}", ha='center')
plt.ylim(0, max(max(y1), max(y2)) + 0.3)
plt.legend([b1, b2], ['c=0,2 g/L', 'c=3 g/L'])
plt.show()
```

## Annexe 7 :

# Influence de la pression

## Annexe 8 :

# Histogramme du taux de rétention avec comme paramètre la pression

```
#INFLUENCE DE LA PRESSION
'''Jp1 (C= 0.2 g/L ; P=2 bars)
Jp2 (C= 0.2 g/L ; P=4,4 bars)'''

#Tableaux de volume en mL
V_2bar=np.array([6,19,34,51])
V_44bar=np.array([10,42,85,128])

#temps
t1=np.array([2,3,4,5])

#Calculs des flux de perméation
J_2bar=(V_2bar*1e-6/(t1))/(S) #m/s
J_44bar=(V_44bar*1e-6/(t1))/(S) #m/s

#incertitude sur J
deltaJ_2bar=(20/100) * J_2bar
u_J_2bar= deltaJ_2bar / np.sqrt(3)

deltaJ_44bar=(20/100) * J_44bar
u_J_44bar= deltaJ_44bar / np.sqrt(3)

#Tracé des flux de permeation

plt.plot(t1, J_2bar, marker='x', color='r', label='2 bar')
plt.plot(t1, J_44bar, marker='x', color='g', label='4,4 bar')

plt.legend(loc='best')
plt.title('Flux de permeation, J, en fonction du temps')
plt.xlabel('t (min) ')
plt.ylabel('J (m/s)')
plt.errorbar(t1, J_2bar, yerr = 2*u_J_2bar, fmt='r.')
plt.errorbar(t1, J_44bar, yerr = 2*u_J_44bar, fmt='g.')
plt.grid(True)
plt.show()
```

```
#influence de la pression
#mesure à 0.2g/L pression : 2 bars ; 4.4bars

largeur_barre = 0.3# Largeur de chaque barre

u_R = np.array([0.2, 0.2]) #incertitude sur R
cp=np.array([0.021,0.051]) # 2 bars ; 4.4bars
ca=np.array([0.2,0.2])
R=np.array(1-(cp/ca))

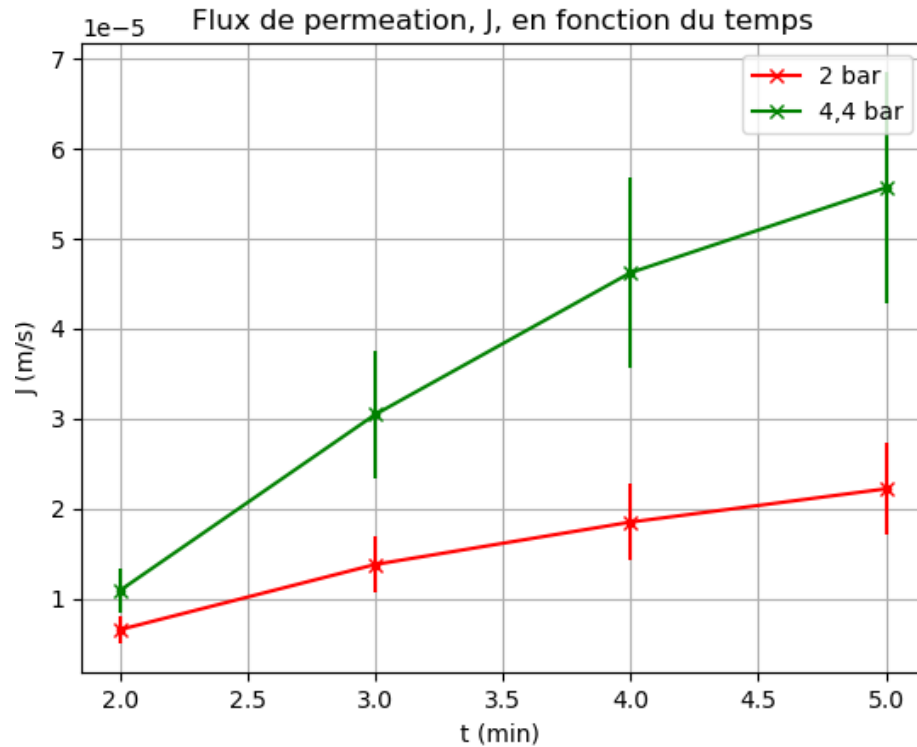
#tracé de l'histogramme
y1 = [R[0]]
y2 = [R[1]]
x1 = range(len(y1)) # Position de P=4,4bar
x2 = [i + largeur_barre for i in x1] # Position de P=2bar
b1=plt.bar(x1, y1, width = largeur_barre, color = 'green', edgecolor = 'black', linewidth = 2,)
b2=plt.bar(x2, y2, width = largeur_barre, color = 'red', edgecolor = ['black' for i in y1], linewidth = 2)
plt.errorbar(x1, y1, yerr=u_R[0], fmt='none', ecolor='black', capsize=70)
plt.errorbar(x2, y2, yerr=u_R[1], fmt='none', ecolor='black', capsize=70)

#Légende
plt.xticks([r + largeur_barre / 2 for r in range(len(y1))],['à t = 5min'])
plt.title("Taux de rétention en sel, R , sous l'influence de la pression")
plt.text(x1[0], -0.15, f"R = {R[0]:.3f} ± {u_R[0]:.3f}", ha='center')
plt.text(x2[0], -0.15, f"R = {R[1]:.3f} ± {u_R[1]:.3f}", ha='center')
plt.ylim(0, max(max(y1), max(y2)) + 0.3)
plt.ylabel('R')
plt.legend([b1, b2], ['P=4,4 bars', 'P=2 bars'])
plt.show()
```

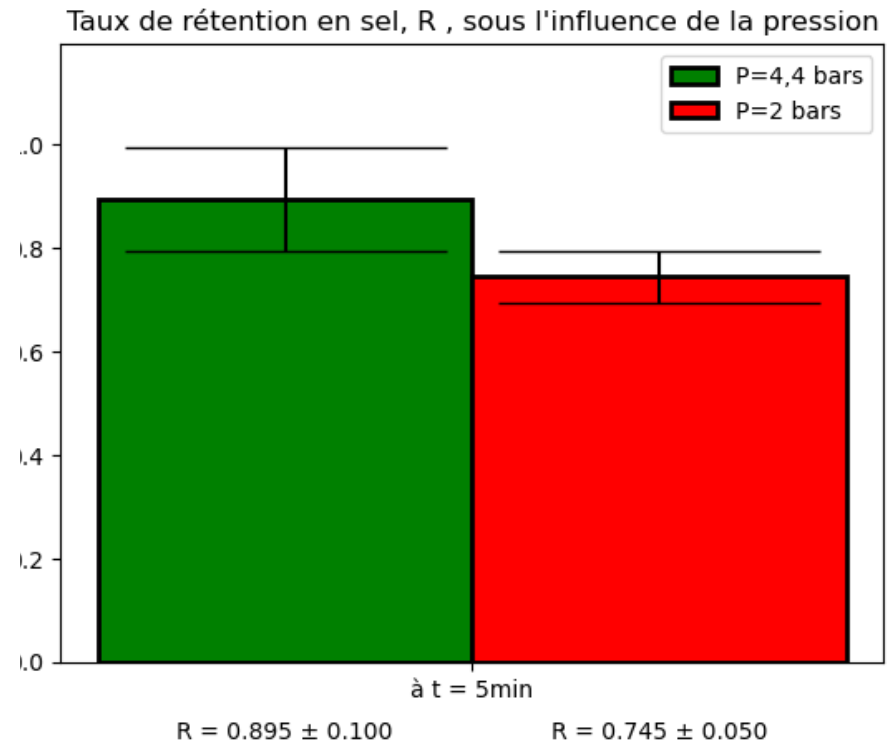
## Annexe 9 :

# Effet de la pression d'attaque sur le flux de perméat $J_p$ et sa qualité

Concentration en sel : 0.2 g / l



$$J_p = \frac{PTM - \Delta\Pi}{\eta R}$$



## Annexe 10 :

# Accumulation de la matière à la membrane

## Polarisation de concentrations

Équation de conservation de la masse :

$$\frac{\partial}{\partial t} = -\text{div}(\vec{j}) \quad \frac{dj_x}{dx} = 0 \quad j_x = \text{cste}$$

Equa. diff.

$$j_x = Jc - D \frac{dc}{dx} = Jc_p$$

Intégration :

$$\begin{aligned} \frac{dc}{c - c_p} &= \frac{j}{D} dx \\ \int \frac{dc}{c - c_p} &= \frac{j}{D} \int dx \\ \int \frac{d(c - c_p)}{c - c_p} &= \frac{j}{D} \int dx \\ \ln(c - c_p) &= \frac{j}{D} x + K \end{aligned}$$

Application des

Conditions limites:

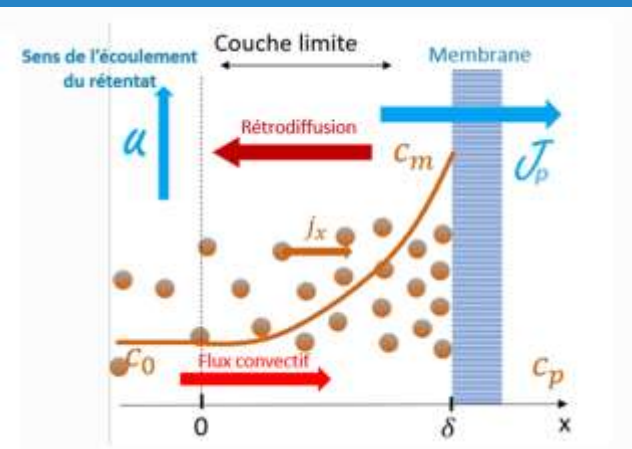
$$\begin{aligned} x = 0 \quad c = c_0 \quad \frac{c - c_p}{c_0 - c_p} &= e^{\frac{jx}{D}} \\ x = \delta \quad c = c_m \quad \frac{c_m - c_p}{c_0 - c_p} &= e^{\frac{j\delta}{D}} \end{aligned}$$

nombre de Péclet :

$$Pe = \frac{j\delta}{D} = \frac{\text{transfert convectif}}{\text{transfert diffusif}} \quad \left[ \frac{j}{u} \delta \right]$$

$$\text{Module du film} \quad J_{stat} = \frac{D}{\delta} \ln \left( \frac{c_m - c_p}{c_0 - c_p} \right)$$

$$\text{Module du gel} \quad J_{lim} = \frac{D}{\delta} \ln \left( \frac{c_g - c_p}{c_0 - c_p} \right) \quad \text{où } c_g \text{ est la concentration de gel}$$



## Annexe 11 :

Titrages des  
rétentats issues  
des  
congélations  
pour  $t=5\text{min}$

